

**TURBULENT DRAG REDUCTION OF POLYACRYLAMIDE AND
70% HYDROLYZED POLYACRYLAMIDE SOLUTIONS**

Ms. Wunpen Chonkeaw

A Thesis Submitted in Partial Fulfillment of the Requirements
for the Degree of Master of Science
The Petroleum and Petrochemical College, Chulalongkorn University
in Academic Partnership with
The University of Michigan, The University of Oklahoma,
and Case Western Reserve University

1999

ISBN 974-331-943-3

I1933803X

Thesis Title : Turbulent Drag Reduction of Polyacrylamide and 70%
Hydrolyzed Polyacrylamide Solutions
By : Ms. Wunpen Chonkeaw
Program : Polymer Science
Thesis Advisors : Professor Alexander M. Jamieson
Assoc. Prof. Anuvat Sirivat

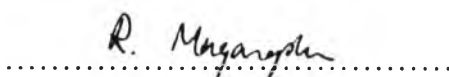
Accepted by the Petroleum and Petrochemical College,
Chulalongkorn University, in partial fulfillment of the requirements for the
Degree of Mater of Science.


..... College Director
(Prof. Somchai Osuwan)

Thesis Committee :


.....
(Prof. Alexander M. Jamieson)


.....
(Assoc. Prof. Anuvat Sirivat)


.....
(Dr. Rathanawan Magaraphan)

ABSTRACT

##972025 POLYMER SCIENCE PROGRAM

KEY WORDS : Turbulent Drag Reduction / Polyacrylamide / PAM / 70%
Hydrolyzed Polyacrylamide / 70% HPAM

MS. Wunpen Chonkaew : Turbulent Drag Reduction of
Polyacrylamide and 70 % Hydrolyzed Polyacrylamide Solutions. Thesis
Advisors : Prof. Alexander M. Jamieson and Assoc. Prof. Anuvat Sirivat, 101
pp. ISBN 974-331-943-3

It is well known that the energy loss due to skin friction in a turbulent flow is substantially lowered when a small amount of polymer is added to the flowing solvent. In this work, the effects of polymer concentration, salt concentration and molecular weight on the turbulent drag reduction were investigated in PAM and 70% HPAM solutions. They were tested for turbulent drag reduction using our homemade Couette apparatus. Polymer hydrodynamic radius and solution viscosity were measured using dynamic light scattering technique and Ubbelohde viscometer for both sterile water and saline solutions. The amount of turbulent drag reduction was found to correlate well with polymer hydrodynamic radius. The Kolmogorov microscale scales with both hydrodynamic radius, degree of polymerization and concentration, but the scaling exponents differ from those predicted by Lumley's and de Gennes's theories. Our viscoelastic theory with the new truncation length scale is proposed to explain drag reduction mechanism. The theory suggest two opposing roles for elasticity. The correlation between our viscoelastic length scale, l_{ve} and N, c_p was shown. The approximate agreements with experimental data was obtained if we take 'a' to lie between 0.2-0.3, depending whether we want to match concentration or degree of polymerization dependences more closely.

บทคัดย่อ

นางสาววันเพ็ญ ช้อนแก้ว : ชื่อหัวข้อวิทยานิพนธ์ (ภาษาไทย) การลดแรงเสียดทานที่ผนังในการไหลแบบปั่นป่วน โดยสารละลายน้ำดีและ 70% ไฮโดรไอล์ฟอยด์คริลิกไมค์ (ภาษาอังกฤษ) (Turbulent Drag Reduction of Polyacrylamide and 70 % Hydrolyzed Polyacrylamide solutions) อ.ที่ปรึกษา : ศ. ดร. อะเด็กซานเดอร์ เอ็น เมมสันและ รศ. ดร. อนุวัฒน์ ศิริวัฒน์ 101 หน้า ISBN 974-331-943-3

เป็นที่ทราบกันอย่างดีว่าการสูญเสียพลังงานเนื่องจากความเสียดทานที่ผิวในการไหลแบบปั่นป่วนจะลดลงเมื่อเติมสารละลายน้ำดีเข้าไป การวิจัยนี้ทำการศึกษาอิทธิพลของความเข้มข้นของสารละลายน้ำดี ความเข้มข้นของเกลือ และน้ำหนักโมเลกุลของพอลิเมอร์ที่มีต่อการลดแรงเสียดทานที่ผนังในการไหลแบบปั่นป่วน โดยทดสอบกับสารละลายน้ำดีและ 70% ไฮโดรไอล์ฟอยด์คริลิกไมค์ สารละลายน้ำดีทั้งสองชนิดนี้ถูกทดสอบการลดแรงเสียดทานที่ผนังโดยใช้เครื่องมือวัดคุณสมบัติทางการไหลแบบทรงกระบอกซึ่งได้รับการออกแบบเป็นพิเศษ เทคนิคการวัดการกระจายแสงและการวัดความหนืดได้ถูกนำมาใช้ในการวัดรัศมีไฮโดรไอนามิกและความหนืดของสารละลายน้ำดีในน้ำสตอโรลและสารละลายน้ำดี เรายพบว่าปริมาณการลดลงของแรงเสียดทานที่ผนังมีความสัมพันธ์ยิ่งกับรัศมีไฮโดรไอนามิก และโคลโนกรอฟไมโครสเกลสามารถลดรัศมีไฮโดรไอนามิกและความเข้มข้นของสารละลายน้ำดี แต่ค่าเลขกำลังที่คำนวณได้จากการทดลองแตกต่างจากค่าที่ได้จากการทำนายโดยทฤษฎีของลัมเลียร์และดี เจนเนส นอกเหนือนี้ทฤษฎีวิสโโคอิลัสติกได้ถูกเสนอขึ้นเพื่อที่จะอธิบายกลไกการลดลงของแรงเสียดทานที่ผนัง โดยทฤษฎีนี้ได้เสนอสองบทบาทที่ขัดแย้งกันของแรงอิลัสติกและยังได้แสดงความสัมพันธ์ระหว่างสเกลความยาววิสโโคอิลัสติกกับความเข้มข้นและค่าแสดงความยาวของการเกิดปฏิกิริยาซึ่งพบร่องที่ได้จากการทดลองจะสามารถอธิบายได้โดยทฤษฎีนี้เมื่อเรากำหนดค่าเลขชี้กำลังที่ไม่ทราบค่า 'a' ให้อยู่ในช่วงระหว่าง 0.2 ถึง 0.3 ซึ่งจะเป็นค่าในน้ำขึ้นอยู่กับว่าเราต้องการให้ความสำคัญกับค่าความสัมพันธ์ของความเข้มข้นหรือความสัมพันธ์ของค่าแสดงความยาวของการเกิดปฏิกิริยา กับความยาววิสโโคอิลัสติกมากกว่ากัน

ACKNOWLEDGEMENTS

The author would like to gratefully acknowledge all professors who have taught her at the Petroleum and Petrochemical College, Chulalongkorn University, especially those in the Polymer Science Program.

The author greatly appreciates the efforts of her research advisors, Professor Alexander M. Jamieson and Associate Professor Anuvat Sirivat for their constructive criticism, suggestions and proof-reading of this manuscript. The author would like to give sincere thanks to Dr. Ratthanawan Magaraphan for being a thesis committee member.

The author wishes to express her thanks to Ms. Khine Yi Mya who has given her suggests and encouragement and also to all of college staffs for providing the use of research facilities.

Finally, the author is deeply indebted to her parents for their love, understanding encouragement, and for being a constant source of her inspiration.

TABLE OF CONTENTS

	PAGE
Title Page	i
Abstract (in English)	iii
Abstract (in Thai)	iv
Acknowledgements	v
Table of Contents	vi
List of Tables	ix
List of Figures	x
List of Symbols	xiv
CHAPTER	
I INTRODUCTION	1
1.1 Background	2
1.2 Literature Survey	4
1.2.1 Proposed Mechanism	4
1.2.2 Effect of Molecular Structure on Drag Reduction Effectiveness	8
1.3 Objectives	10
II EXPERIMENTAL	11
2.1 Materials	11
2.1.1 Polymers	11
2.1.2 Solvents and other Chemicals	11
2.2 Instruments	12
2.2.1 Rheometric Fluid Spectrometer	12
2.2.2 Light Scattering Instrument	14
2.2.3 Capillary Viscometer	15

CHAPTER	PAGE
2.2.4 Centrifugation	15
2.2.5 Refractrometer	15
2.3 Methodology	15
2.3.1 Sample Preparation	15
2.3.2 Static Light Scattering Measurement	16
2.3.3 Dynamic Light Scattering	18
2.3.4 Viscosity Measurement	21
2.3.5 Drag Reduction Measurement	23
2.3.6 Refractive Index Increment Measurement	25
III RESULTS	27
3.1 Characterizations	27
3.1.1 Polyacrylamide	27
3.1.1.1 Static Light Scattering	27
3.1.1.2 Dynamic Light Scattering	28
3.1.1.3 Viscosity	32
3.1.2 70 % Hydrolyzed Polyacrylamide	35
3.1.2.1 Static Light Scattering	35
3.1.2.2 Dynamic Light Scattering	36
3.1.1.3 Viscosity	37
3.2 Drag Reduction Measurement	41
3.2.1 Effect of Polymer Concentration	41
3.2.2 Effect of Molecular Weight	44
3.2.3 Effect of Salt Concentration	47
3.3 Scaling Relation	46
IV THEORIES AND DISCUSSION	56
4.1 Lumley's Viscous Theory	56

CHAPTER	PAGE
4.1.1 Range of Eddy Size	56
4.1.2 Lumley-Einstein model	58
4.1.3 Lumley-FENE-P model	60
4.2 de Gennes's Elastic Theory	62
4.3 Our Proposed Model: Viscoelastic Fluid	63
V CONCLUSIONS	67
REFERENCES	69
APPENDIX	73
CURRICULUM VITAE	101

LIST OF TABLES

TABLE	PAGE
1.1 Drag reducing polymeric fluids	2
2.1 Geometry of couette cell units (CCU)	14
2.2 a and K values of polyacrylamide in water at 30°C	22
2.3 dn/dc_p of PAM-PS-19901, PAM-PS-02806 and 70 % HPAM-SPP-377 solutions at 30°C.	25
3.1 Static light scattering properties of polyacrylamide solutions at 30°C	30
3.2 Overlap concentration of polyacrylamide at 30°C	34
3.3 Dynamic light scattering properties of polyacrylamide at 30°C	35
3.4 Static light scattering properties of 70 % hydrolyzed polyacrylamide in 0.02 M NaCl at 30°C	36
3.5 Dynamic light scattering properties of 100 mg/l 70 % hydrolyzed polyacrylamide in various salt concentration at 30°C	37
3.6 Intrinsic viscosity, Huggins coefficient and overlap concentration of 70 % hydrolyzed polyacrylamide at various salt concentrations at 30°C	40
3.7 Scaling exponents of l_d , $l_d/l_{do}-1$ on hydrodynamic radius, volume fraction, degree of polymerization and polymer concentration	56
4.1 Scaling exponent of Lumley's theory	59
4.2 Scaling exponent of de Gennes theory	62
4.3 Value of ' a ' determined from experimental data	66

LIST OF FIGURES

FIGURE	PAGE
1.1 Instantaneous values of measured characteristic of turbulent flow	3
2.1 Assembly of the single Couette cell unit (SCU)	13
2.2 Assembly of the double Couette cell unit (DCU)	13
2.3 Determination of dn/dc_p for PAM-PS-19901, PAM -PS-02806 and 70 % HPAM-SPP-377 solutions	26
3.1 (a) Zimm plot for light scattering intensity of PAM-PS-19901 solutions at 30°C	27
(b) Zimm plot for light scattering intensity of PAM-PS-02806 solutions at 30°C	28
3.2 (a) Apparent diffusion coefficient as a function of the square of scattering wave vector for PAM-PS-02806 solutions at 30°C	29
(b) Apparent diffusion coefficient as a function of the square of scattering wave vector for PAM-PS-19901 solutions at 30°C	29
3.3 Center of mass diffusion coefficient versus polymer concentration for PAM-PS-19901 and PAM-PS-02806 solutions at 30°C	30
3.4 Polydispersity of relaxation time of polyacrylamide solutions at scattering angle of 90° as a function of polymer concentration at 30°C	31
3.5 (a) Reduced viscosity as a function of polymer concentration at 30°C for PAM-PS-22581 in 0.1 M NaCl	32

FIGURE	PAGE
(b) Reduced viscosity as a function of polymer concentration at 30°C for PAM-PS-19901 and PAM-PS-02806 in water	33
3.5 (c) Reduced viscosity as a function of polymer concentration at 30°C for PAM-PS-18522 in water	33
3.6 Zimm plot for light scattering intensity of 70 % HPAM-SPP-377 in 0.02 M NaCl solution at 30°C	36
3.7 Apparent diffusion coefficient as a function of the square of scattering wave vector at 30°C for 70 % HPAM-SPP-377 at various polymer concentrations	38
3.8 Reduced viscosity as a function of polymer concentration at 30°C for 100 mg/l 70 % HPAM-SPP-377 in sterile water and various salt concentrations	38
3.9 Friction factor versus Reynolds number for: <ul style="list-style-type: none"> (a) water/glycerol: 70/30 mixture, (b) water/glycerol: 100/0 mixture, and (c) water/glycerol: 70/30 and 100/0 mixture at 30°C 	42
3.10 Friction factor as a function of Reynolds number for PAM-PS-02806 solutions at 30°C	43
3.11 % Drag Reduction as a function of polymer concentration for PAM-PS-02806 and PAM-PS-19901 solutions at Reynolds number of 5460 at 30°C	43
3.12 Physical picture of polymeric molecules in the turbulent region	45
3.13 Friction factor as a function of Reynolds number for PAM-PS-22581, -PS-19901, -PS-02806, and -PS-18522 solutions at 30°C	46

FIGURE	PAGE
3.14 % Drag reduction as a function of polymer hydrodynamic radius for 100 mg/l PAM-PS-22581, -PS-19901, -PS-02806 and -PS-18522 solutions at Reynolds number of 5460 at 30°C	46
3.15 Friction factor as a function of Reynolds number for 100 mg/l 70% HPAM-SPP-377 at various NaCl concentrations from 0 M to 0.5 M at 30°C	48
3.16 % Drag reduction as a function of polymer hydrodynamic radius for 100 mg/l 70 % HPAM-SPP-377 at various NaCl concentrations from 0 M to 0.5 M at Reynolds number of 5460 at 30°C	48
3.17 (a) l_d as a function of polymer hydrodynamic radius for 100 mg/l PAM-PS-19901,-PS-02806 and -PS-18522 solutions and 100 mg/l 70%HPAM-SPP-377 at various salt concentrations at 30°C.	52
(b) $l_d/l_{do} - 1$ as a function of polymer hydrodynamic radius for 100 mg/l PAM -PS-19901, -PS-02806 and -PS-18522 solutions and 100 mg/l 70%HPAM-SPP-377 at various salt concentrations at 30°C	52
3.18 (a) l_d as a function of polymer volume fraction for 100 mg/l PAM-PS-19901, PS-02806 and PS-18522 solutions and 100 mg/l 70%HPAM-SPP-377 at various salt concentrations at 30°C	53
(b) $l_d/l_{do}-1$ as a function of polymer volume fraction for 100 mg/l PAM-(PS-19901, PS-02806 and PS-18522) solutions and 100 mg/l 70%HPAM-SPP-377 at various salt concentrations at 30°C	53
3.19 (a) l_d as a function of polymer concentration for PAM-PS-02806 solutions at 30°C	54

FIGURE	PAGE
(b) $l_d/l_{do} - 1$ as a function of polymer concentration for PAM-PS-02806 solutions at 30°C	54
3.20 l_d as a function of N of PAM at 30°C	55

LIST OF SYMBOLS

R_h = hydrodynamic radius (nm)

R_g = radius of gyration (nm)

T_1 = molecular relaxation time (s)

N = degree of polymerization

N_A = Avogadro's number

M_a = molecular weight of repeating unit

u_* = friction velocity of drag reduction $(\tau_w / \rho)^{1/2}$ (cm/s)

c_p = polymer concentration (g/l)

C_p^* = overlap concentration (g/l)

Greek Letters

$[\eta]$ = intrinsic viscosity (l/g)

Π = reduced slope increment

κ = slope modulus

ν = kinematic viscosity of solution (cm²/s)

ν_s = kinematic viscosity of solvent (cm²/s)

ν_{turb} = kinematic viscosity of solution due to unraveling chains (equation 1.3)

ζ_{turb} = effective kinematic viscosity enhancement

ρ = density (g/cm³)

τ_* = wall shear stress at onset of drag reduction

τ_w = wall shear stress

Ω = onset length scale constant

δ = slope increment